

## افزایش مقاومت به خوردگی موضعی تیتانیم خالص تجاری در محیط اسید سولفوریک با استفاده

### از روش اکسیداسیون پلاسمای الکترولیتی

حمید نیازی<sup>۱\*</sup>، فرهاد گلستانی فرد<sup>۲</sup> و محمد شاهمیری<sup>۳</sup>

### چکیده

پوشش دی اکسید تیتانیم با استفاده از روش اکسیداسیون پلاسمای الکترولیتی در یک مرحله و طی زمان کوتاهی (ده دقیقه) روی سطح تیتانیم خالص تجاری اعمال شده است. در این پژوهش رفتار خوردگی تیتانیم خالص تجاری و نمونه پوشش داده شده با این روش در محیط اسید سولفوریک مورد بررسی قرار گرفته است. ترکیب فازی و ریخت شناسی سطحی پوشش ایجاد شده به ترتیب توسط پراش سنجی پرتوی ایکس<sup>۴</sup> و میکروسکوپ الکترونی روبشی<sup>۵</sup> مورد بررسی قرار گرفت. نتایج بدست آمده از پراش سنجی پرتوی ایکس نشان داد که پوشش بدست آمده از فاز آناناتاز<sup>۶</sup> با ترکیب شیمیابی دی اکسید تیتانیم تشکیل شده است و در شرایط پوشش دهنده فاز روتایل<sup>۷</sup> تشکیل نشده است. علاوه بر این بررسی‌های میکروسکوپی نشان دادند که پوشش ایجاد شده مخلوط است و میکرو حفرات با قطر چند میکرومتر در اثر فرآیند چرقه زنی روی سطح پوشش ایجاد شده‌اند. آزمایش‌های الکتروشیمیابی پتانسیل مدار باز<sup>۸</sup>، پلاریزاسیون سیکلی<sup>۹</sup> در محیط هوازدایی شده حاوی ۴۰ گرم بر لیتر اسید سولفوریک و ۴۰ گرم بر لیتر کلرید سدیم انجام شد. نتایج بدست آمده نشان می‌دهند که افزون بر افزایش پایداری ترمودینامیکی تیتانیم در محیط آزمایش، نرخ خوردگی بیش از هشت مرتبه کاهش می‌باشد. مهم‌ترین دست آورد ایجاد پوشش اکسیدی ایجاد شده، افزایش مقاومت به خوردگی موضعی تیتانیم در محیط آزمایش است.

**واژه‌های کلیدی:** رفتار خوردگی، خوردگی موضعی، دی اکسید تیتانیم، اکسیداسیون پلاسمای الکترولیتی.

۱- کارشناس ارشد مهندسی مواد و متالورژی، دانشگاه علم و صنعت ایران.

۲- استاد دانشکده مهندسی مواد و متالورژی، دانشگاه علم و صنعت ایران.

۳- استادیار دانشکده مهندسی مواد و متالورژی، دانشگاه علم و صنعت ایران.

\*- نویسنده مسئول مقاله: hamid.niai@outlook.com, niazi@metaleng.iust.ac.ir

<sup>4</sup>-X-Ray Diffraction

<sup>5</sup>-Scanning Electron Microscope

<sup>6</sup>-Anatase

<sup>7</sup>-Rutile

<sup>8</sup>-Open Circuit Potential (OCP)

<sup>9</sup>-Cyclic potentiodynamic Polarization

لایه اکسیدی در فلزات ولو<sup>4</sup> مثل تیتانیم، منیزیم و آلومینیم است. اگرچه این روش ماهیت الکتروشیمیایی دارد، ولی تشكیل پوشش طی آن شامل اکسیداسیون الکتروشیمیایی، اکسیداسیون حرارتی و مکانیزم‌های شیمیایی پلاسمما است[12]. مکانیزم رشد پوشش و تشكیل پلاسمما در محیط مایع به وسیله منابع گوناگونی مورد بررسی قرار گرفته است. در ابتدا وقتی تیتانیم به عنوان آند قرار می‌گیرد، سطح آن یک لایه اکسید تیتانیم ایجاد می‌شود. با توجه به اختلاف پتانسیل اعمالی بسیار زیاد که معمولاً چند صد ولت است، یک لایه گازی که غالباً از اکسیژن تشكیل شده است اطراف آند را احاطه می‌کند. لایه اکسیدی و همچنین، لایه گازی عایق الکتریکی هستند و در نتیجه بار مثبت روی سطح تیتانیم و بار منفی روی سطح لایه گازی تجمع می‌کنند و یک اختلاف پتانسیل بسیار زیاد بین سطح فلز و الکتروولیت نزدیک آن ایجاد می‌شود. در اثر این اختلاف پتانسیل زیاد، جرقه‌های الکتریکی در نواحی که مقاومت الکتریکی کمتری داشته باشند ایجاد شده و در نتیجه یک محیط پلاسمما ایجاد می‌شود. پس از شروع جرقه زنی و ایجاد محیط پلاسمما، رشد پوشش از این طریق ادامه پیدا می‌کند[8 و 13]. مزایایی همچون زمان کوتاه انجام فرآیند، هزینه کم تجهیزات، چسبندگی خوب پوشش به زیر لایه و استفاده از الکتروولیت‌های دوستدار محیط زیست توجه پژوهشگران را از نقاط گوناگون دنیا به خود جلب کرده است[13]. هدف اصلی از ایجاد پوشش‌های اکسیدی به روش اکسیداسیون جرقه میکرونی روی سطح تیتانیم، افزایش مقاومت به سایش و مقاومت به خوردگی این فلز است[9]. تاثیر عوامل زیادی نظری ترکیب شیمیایی الکتروولیت[14، 10، 9]، ترکیب شیمیایی زیرلایه[15]، ولتاژ کاری[11]، زمان اکسیداسیون[16]، نوع جریان مصرفی[17، 16] و غیره بر ترکیب فازی و ریخت شناسی سطح و رفتار خوردگی پوشش‌های اکسیدی تهیه شده به این روش موردن بررسی پژوهشگران قرار گرفته است. هدف از این پژوهش مطالعه تاثیر ایجاد پوشش اکسیدی به روش اکسیداسیون پلاسمای الکتروولیتی بر ترمودینامیک و

## پیشگفتار

خواصی نظیر نسبت استحکام به وزن بالا، خواص مکانیکی عالی، مقاومت به خوردگی خوب و خواص زیست سازگاری عالی موجب کاربرد روز افرون تیتانیم و آلیاژهای آن در صنایع نظامی، هوافضا، دریایی، پرشکی، انرژی، برنامه‌های هسته‌ای، تولید مواد غذایی، استخراج هیدروکربن‌ها، لوازم ورزشی، معماری و غیره شده است[1-6]. تیتانیم از نظر ترمودینامیکی فلز فعالی محسوب می‌شود و بر اساس سری emf، پتانسیل استاندارد آن نسبت به الکتروود هیدروژن برابر 1-6/3 - ولت است. با توجه به این تمایل ترمودینامیکی، هنگامی که سطح تیتانیم در معرض انتسфер محیط و یا الکتروولیت‌های آبی و غیر آبی ( محلول اتانول و آمونیاک [7] ) قرار گیرد، به سرعت اکسید می‌شود. این لایه اکسیدی، به عنوان مانعی بین محیط اطراف و فلز عمل می‌کند و از اکسیداسیون بیشتر تیتانیم جلوگیری می‌کند. در نتیجه، این فلز مقاومت خوبی نسبت به خوردگی یکنواخت در محیط‌هایی مثل آب مقطار، آب دریا (هوا زدایی شده و اکسیژن دار) و آب شور دارد. افزون بر این، تیتانیم در محیط‌های حاوی اسیدهای اکسیدکننده مثل اسید کرومیک و اسید نیتریک به دلیل تشكیل یک لایه غیرفعال<sup>1</sup>، مقاومت به خوردگی خوبی دارد. در نقطه مقابل فیلم اکسیدی تشكیل شده روی تیتانیم، در محیط‌های اسیدی، مثل اسید سولفوریک و اسید کلریدیک حل شده و در نتیجه نمی‌تواند از تیتانیم محافظت کند[8]. این لایه اکسیدی در محیط‌های ساینده و همچنین، در محیط‌های اسیدی احیایی از بین می‌رود و سطح این فلز در معرض محیط خورنده قرار می‌گیرد. به همین دلیل کاربرد تیتانیم بدون اعمال پوشش محافظت روی سطح آن محدود است [9-11]. متدائل ترین و مقرن به صرفه ترین روش برای ایجاد پوشش بر روی تیتانیم اکسیداسیون تیتانیم است که شامل اکسیداسیون حرارتی و الکتروشیمیایی می‌شود. روش اکسیداسیون پلاسمای الکتروولیتی<sup>2</sup> یا اکسیداسیون جرقه میکرونی<sup>3</sup>، روشنی نسبتاً جدید برای افزایش ضخامت

<sup>1</sup>-Passive Film

<sup>2</sup>-Plasma Electrolytic Oxidation

<sup>3</sup> -Micro Arc Oxidation

<sup>4</sup>-Valve Metals فلزاتی هستند که از راه ایجاد لایه اکسیدی روی سطح، واکنش‌های آندی را محدود می‌کنند.

سیلندری شکل از جنس فولاد ضد زنگ 316 بود که الکتروولیت در درون آن ریخته می‌شد و آند در مرکز این سیلندر قرار داده می‌شد. انتخاب کاتد سیلندری شکل با هدف ایجاد یک میدان الکتریکی یکنواخت صورت گرفت. این مجموعه به وسیله اتصالات الکتریکی به منبع جریان متصل می‌شدند جرقه‌های ایجاد شده در فرآیند پلاسمای الکتروولیتی، دمای الکتروولیت را افزایش می‌دهد به همین منظور برای کنترل دمای الکتروولیت طی فرآیند پلاسمای الکتروولیتی، این مجموعه در داخل یک ظرف آب قرار داده می‌شد. برای ایجاد اختلاف پتانسیل بین آند و کاتد از منبع تغذیه ای پتانسیو استات ایرانی ساخت جهاد دانشگاهی دانشگاه علم و صنعت ایران استفاده شد. با ایجاد اختلاف پتانسیل (DC) 300 ولت بین آند و کاتد به مدت 10 دقیقه لایه اکسیدی روی سطح تیتانیم در اثر واکنش‌های الکتروشیمیایی و همچنین، پلاسمایی ایجاد شد. در این پژوهش به ترتیب از کدهای T30 و CP-Ti برای نمونه پوشش داده شده و زیرلایه تیتانیم خالص تجاری استفاده شد. جهت مشاهده و بررسی ریخت شناسی سطحی پوشش از میکروسکپ الکترونی روبشی (TESCAN, Vega II) استفاده شد. با توجه به ماهیت این پوشش، از پوشش طلا جهت رسانا نمودن سطح استفاده گردید. بمنظور مطالعه ترکیب فازی پوشش‌های تهیه شده، از پراش سنجی پرتوی X در زوایای 20 تا 60 درجه استفاده شد. این آنالیز به وسیله دستگاه Philips مدل PW3710 انجام شد. منبع تابش دستگاه، پرتوی K<sub>a</sub> مس را با طول موج 1/546 آنگstrom، تأمین می‌کرد. ولتاژ کاری و جریان مورد استفاده به ترتیب برابر 40 کیلوولت و 20 میلی آمپر و فیلتر مورد استفاده از جنس گرافیت بود. با توجه به ضخامت کم لایه‌های سنتر شده، آنالیز پراش سنجی پرتوی X با سرعت روبش کم انجام شد. این امر به افزایش شدت پیک‌ها و کاهش شدت نویزها کمک می‌کند.

سینتیک خوردگی و همچنین، مقاومت در برابر حفره دار شدن تیتانیم در الکتروولیت هوازدایی شده حاوی اسید سولفوریک و کلرید سدیم است.

## مواد و روش پژوهش

زیرلایه‌های مورد استفاده در این پژوهش، ورق‌های تیتانیم خالص تجاری گرید 2 ساخت کشور اکراین بودند که آنالیز ترکیب شیمیایی آن‌ها در جدول 1 گزارش شده است. نمونه‌هایی با ابعاد 30×15×0.7 mm<sup>3</sup> از این ورق تهیه شدند. سطح نمونه‌های بریده شده طی چهار مرحله صیقل دادن سطح، قلیاشویی، اسیدشویی و چربی گیری نهایی برای مراحل بعدی پوشش دهی آماده شدند. در مرحله نخست، با استفاده از سنباده‌های 600 تا 1200 خط و خش‌های موجود روی سطح زیرلایه از بین رفت و سطحی یکنواخت و صیقلی بدست آمد. حذف آلاینده‌های آلی مانند چربی‌ها در این مرحله با استفاده از محلول 60% وزنی هیدروکسید سدیم در دمای 50 درجه سانتی گراد صورت گرفت. در این مرحله زیرلایه‌ها درون حمامی از محلول بالا که بر روی همزن مغناطیسی قرار دارد، به مدت 30 دقیقه غوطه‌ور شدند. پس از مرحله قلیاشویی، زیرلایه‌ها به مدت 30 ثانیه در محلول 5 درصد اسید فلوروریدریک تحت عملیات حکاکی قرار گرفتند. در مرحله پایانی سطح زیرلایه‌ها به مدت 15 دقیقه در اتانول و با استفاده از دستگاه آتراسونیک تمیزکاری شدند. لازم به ذکر است که در بین مراحل فوق، زیرلایه‌ها با استفاده از آب مقطر شستشو می‌شدند.

پیل‌های الکتروشیمیایی از چهار جزء اصلی آند، کاتد، الکتروولیت و اتصالات الکتریکی تشکیل شده‌اند. در این پژوهش آند یا قطب مثبت، زیرلایه‌های تیتانیمی هستند که در اثر اعمال ولتاژ الکترون‌های خود را از دست داده و با اکسیژن ترکیب می‌شوند. در این پژوهش از الکتروولیت فسفاتی حاوی 10 گرم بر لیتر فسفات سدیم استفاده شده است. کاتد بکار رفته در این پیل الکتروشیمیایی، ظرفی

جدول ۱- ترکیب شیمیایی زیرلایه تیتانیمی مورد استفاده در این پژوهش

عنصر	تیتانیم	آلومینیم	وانادیم	منگنز	آهن	مس	کرم	سایر عناصر
درصد وزنی	99/42	0/25	≤0/05	≤0/02	0/04	0/10	باقیمانده	

شد.

## نتایج و بحث

### بررسی ترکیب فازی

شکل ۱ الگوی پراش پرتوی ایکس زیرلایه و نمونه T30 را نمایش می‌دهد. به دلیل عمق نفوذ زیاد پرتوی ایکس و حضور میکرو حفرات سطحی، پیک‌های مربوط به زیرلایه در الگوی پراش پرتوی ایکس نمونه‌های پوشش داده شده نیز مشاهده می‌شوند [۹]. حضور فاز آناتازدر ترکیب فازی نمونه T30، نشان‌دهنده اکسیداسیون سطح این نمونه است. چنانچه الگوی پراش پرتوی ایکس نمایش می‌دهد، هیچ پیک مشخصی از فاز روتایل در زوایای ۲۷/۴۷۷ ۳۶/۰۷۶ و ۴۱/۲۲۶ مشاهده نمی‌شود. گفتنی است که فازهای آناتاز و روتایل به ترتیب محصول اکسیداسون الکتروشیمیایی و اکسیداسیون حرارتی هستند. بنابراین با عنایت به عدم مشاهده پیک‌های فاز روتایل در الگوی پراش پرتوی ایکس این نمونه، می‌توان نتیجه گیری کرد که مکانیزم غالب در تشکیل لایه اکسیدی، اکسیداسیون الکتروشیمیایی بوده است [۱، ۸ و ۱۷]. اگرچه ممکن است مقادیری از فاز آناتاز در اثر حرارت ایجاد شده ناشی از تخلیه‌های الکتریکی به فاز روتایل تبدیل شده باشند، ولی مقدار فاز روتایل در این نمونه کمتر از گستره شناخت روش پراش سنجی پرتوی ایکس بوده و لذا هیچ پیکی از این فاز مشاهده نمی‌شود.

### ریخت‌شناسی سطحی

شکل ۲ ریخت‌شناسی سطحی نمونه T30 که در الکترولیت فسفاتی و تحت ولتاژ ۳۰۰ ولت پوشش داده شده است را نمایش می‌دهد. مهم‌ترین ویژگی ریخت‌شناسی سطحی نمونه پوشش داده شده، میکرو‌حفراتی با قطر کمتر از ۱ میکرومتر است که به گونه یکنواختی روی سطح توزیع شده‌اند. لازم به یاد آوری است که این حفرات اثرات باقی مانده از جرقه‌های موضعی هستند که طی فرآیند اکسیداسیون جرقه میکرونی روی سطح به وجود می‌آیند. مکانیزم رشد پوشش با این روش از مراحل متعددی تشکیل شده است. در ابتدا با برقراری جریان الکتریکی در پیل الکتروشیمیایی، اکسید تیتانیم از راه واکنش‌های الکتروشیمیایی زیر تشکیل می‌شود:

رفتار خوردگی زیرلایه تیتانیمی و نمونه پوشش داده شده با استفاده از آزمایش‌های پتانسیل مدار باز<sup>۱</sup>، پلاریزاسیون پتانسیودینامیک سیکلی<sup>۲</sup> در محلول آبی حاوی ۴۰ گرم NaCl بر لیتر H<sub>2</sub>SO<sub>4</sub> و ۴۰ گرم بر لیتر NaCl مورد ارزیابی قرار گرفت. پیش از هر آزمایش، گاز آرگون با خلوص بالا به مدت ۳۰ دقیقه داخل الکترولیت دمیده شد؛ بمنظور کسب اطمینان از انجام آزمایش در شرایط هوا زدایی، دمش گاز در طی مدت زمان آزمایش نیز به گونه پیوسته ادامه داشت. جهت ثابت نگه داشتن دمای الکترولیت در دمای ۵۵±۱ درجه سانتی‌گراد از حمام آب داغ استفاده شد. برای انجام آزمایش‌های خوردگی، از یک پیل الکتروشیمیایی سه الکترودی استفاده شد. ظرفیت سبول شیشه‌ای مورد استفاده برابر ۱۲۰۰ میلی لیتر بود و برای انجام هر آزمایش از ۱۰۰۰ میلی لیتر محلول استفاده شد. نمونه‌ها به عنوان الکترود کاری در پیل الکتروشیمیایی قرار گرفته‌اند؛ از الکترود گرافیتی به عنوان الکترود کمکی و الکترود Ag/AgCl ([KCl]=4 M) به عنوان الکترود مرجع مورد استفاده شد. گفتنی است مساحت نمونه‌ها برابر ۱ سانتی متر مربع بوده و کلیه پتانسیل‌ها در این پژوهش، نسبت به الکترود مرجع گزارش شده‌اند. تمامی اندازه گیری‌های الکتروشیمیایی به وسیله دستگاه Applied Research Versastat4 Princeton جریان ثابت انجام شد. پس از غوطه‌وری نمونه‌ها در محلول خورنده، تغییرات پتانسیل مدار باز نمونه‌ها به مدت یک ساعت ثبت شد. آزمایش پلاریزاسیون پتانسیودینامیک سیکلی با پلاریزه کردن نمونه از ۱-۹/۹ ولت نسبت به الکترود مرجع Ag/AgCl انجام شد. گفتنی است که نمونه‌ها با نرخ ۱۰ میلی ولت بر ثانیه پلاریزه شدند. دستگاه بکار رفته به گونه‌ای تنظیم شده بود که روپش معکوس (یا پلاریزاسیون معکوس) نمونه‌ها با فرآهم شدن یکی از شروط رسیدن به پتانسیل ۱۰ ولت و یا دانسیته جریان ۱۰۰ میلی‌آمپر آغاز شود. در مورد زیرلایه تیتانیمی، روپش معکوس با رسیدن دانسیته جریان به ۱۰۰ میلی‌آمپر آغاز شد در حالی که برای نمونه T30 روپش معکوس در اثر رسیدن پتانسیل به ۱۰ ولت آغاز

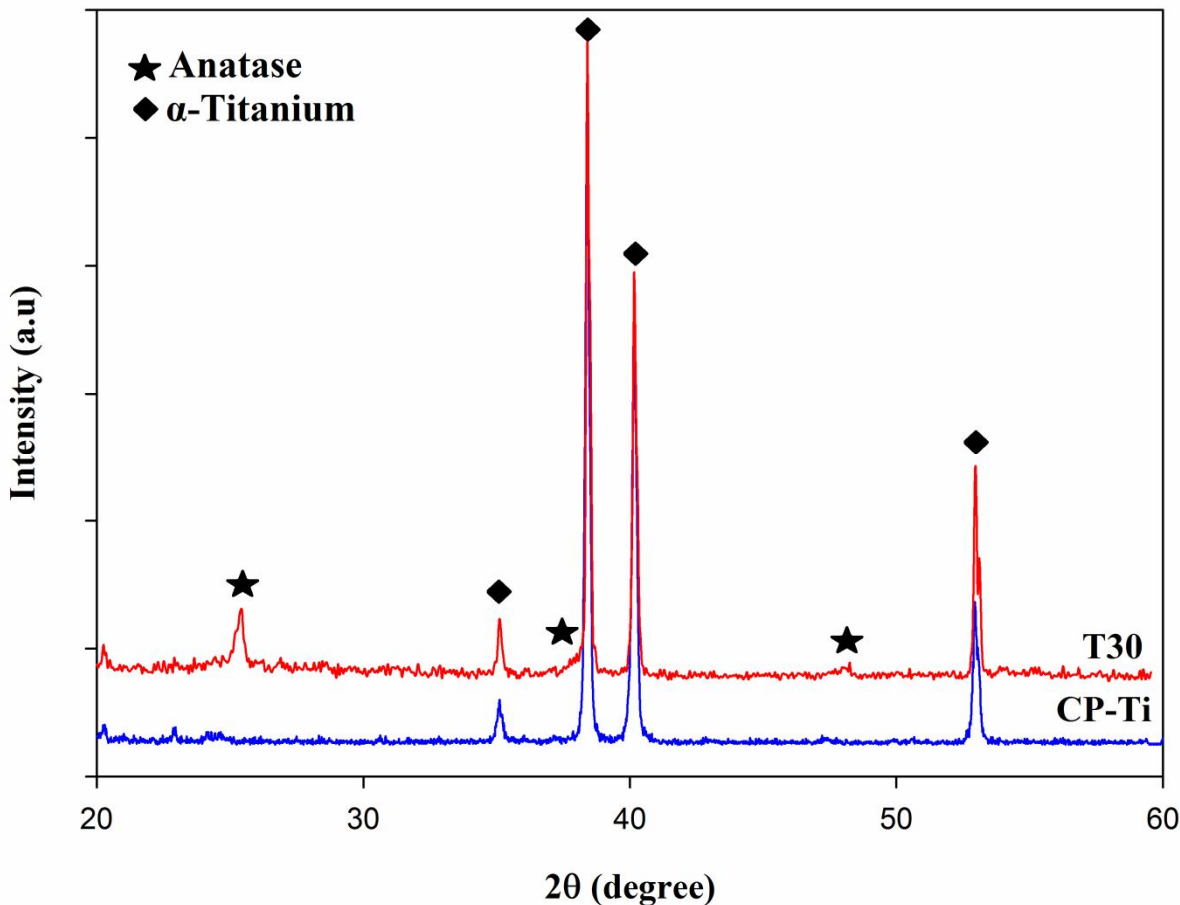
1-Open Circuit Potential(OCP)

2-Cyclic Potentiodynamic polarization (CPP)

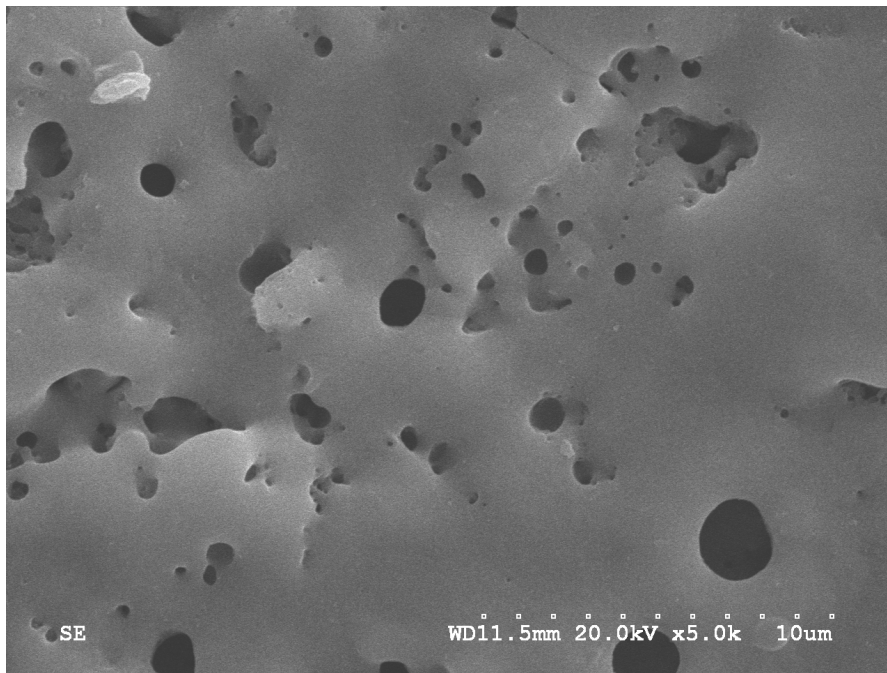
Ti	$\longleftrightarrow$	$\text{Ti}^{4+} + 4\text{e}^-$	(۱)
$\text{H}_2\text{O}$	$\longleftrightarrow$	$\text{O}^{2-} + 2\text{H}^+$	(۲)
$\text{Ti}^{4+} + 2\text{O}^{2-}$	$\longleftrightarrow$	$\text{TiO}_2$	(۳)

شکست لایه گازی و اکسیدی تشکیل شده روی سطح است. به بیان دیگر، در اثر اعمال اختلاف پتانسیل‌های بالاتر از ولتاژ شکست لایه گازی و لایه اکسیدی ایجاد شده روی سطح، در نواحی که مقاومت الکتریکی ضعیفتر باشد، تخلیه الکتریکی صورت می‌گیرد [۸, ۱۶]. ساعی راد [۱۸, ۱۹] و کرومتو [۱۱] به ترتیب در مورد آلومینیم و تیتانیم نشان دادند که اگر ولتاژ کاری از ولتاژ شکست لایه عایق سطح کمتر باشد، هیچ میکرو حفره‌ای روی سطح مشاهده نمی‌شود. به بیان دیگر، این میکرو حفرات مشخصه روش اکسیداسیون جرقه میکرونی هستند.

همزمان با تشکیل دی اکسید تیتانیم، مقدار زیادی از حباب‌های گاز اکسیژن روی سطح آند تشکیل می‌شوند که با افزایش ولتاژ اعمالی تشکیل یک لایه پیوسته گازی را می‌دهند. با افزایش ولتاژ اعمالی به پیل الکتروشیمیایی، مقاومت الکتریکی لایه گازی و لایه اکسیدی افزایش پیدا می‌کند. در نواحی از پوشش که مقاومت الکتریکی لایه گازی و لایه اکسیدی ایجاد شده روی سطح ضعیف باشد، تخلیه‌های الکتریکی آغاز می‌شوند. گفتنی است که برای ایجاد جرقه و تشکیل میکرو حفرات روی سطح به یک ولتاژ بحرانی نیاز است، که این ولتاژ بحرانی برابر ولتاژ



شکل ۱- الگوی پراش پرتوی X تیتانیم خالص تجاری (CP-Ti) و نمونه T30



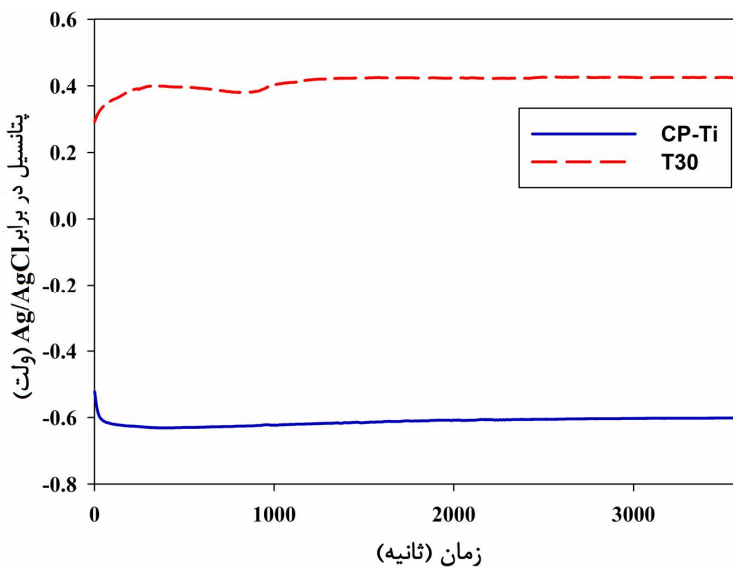
شکل 2- ریخت شناسی سطحی نمونه پوشش داده شده در اختلاف پتانسیل 300 ولت و در الکتروولیت فسفاتی (T30).

تیتانیم خالص تجاری و نمونه T30 در شکل 4 نمایش داده شده‌اند. بر اساس این شکل، یک ناحیه غیرفعال در T30 مشاهده می‌شود. این لایه در پتانسیل کمتر از 4 ولت شکسته می‌شود و دانسیته جریان به گونه ناگهانی افزایش پیدا می‌کند؛ به این منطقه در اصطلاح ترانس پسیو گفته می‌شود. گفتنی است خوردگی در این منطقه عموماً خوردگی حفره‌ای است [8]. در اثر رویش معکوس از پتانسیل 8 ولت، یک حلقه پسماند مثبت مشاهده می‌شود. این حلقه پسماند مثبت، بیانگر عدم ترمیم حفرات بوجود آمده طی رویش رو به جلو است. بنابراین، تیتانیم در شرایط آزمایش مستعد خوردگی حفره‌ای است. چنانچه مشاهده می‌شود، منحنی پلاریزاسیون نمونه پوشش داده شده به روش اکسیداسیون پلاسمای الکتروولیتی، به سمت پتانسیل های بالاتر (مثبت تر) و دانسیته جریان‌های کمتر (هم دانسیته جریان خوردگی و هم دانسیته جریان لایه غیر فعال) تغییر مکان داده است. کاهش دانسیته جریان به بیانگر کاهش نرخ واکنش‌های الکتروشیمیایی یا به بیان دیگر، مهار شدن واکنش‌های خوردگی است. از طرف دیگر مثبت تر شدن پتانسیل بیانگر کاهش تمایل ترمودینامیکی به انجام واکنش‌های خوردگی است. این نتیجه، در توافق با نتایج بدست آمده از آزمایش پتانسیل مدار باز است.

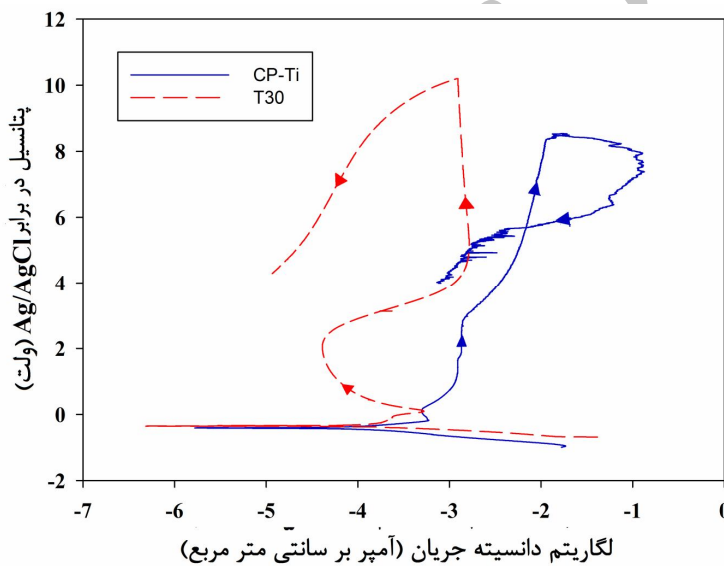
### بررسی رفتار خوردگی

شکل 3 تغییرات پتانسیل مدار باز زیرلایه و نمونه T30 را طی یک ساعت غوطه‌وری در محیط خورنده (الکتروولیت H<sub>2</sub>SO<sub>4</sub>) 40 گرم بر لیتر NaCl نمایش می‌دهد. همان گونه که در این شکل مشاهده می‌شود، مقدار پتانسیل مدار باز زیرلایه در لحظات اولیه غوطه‌وری به سرعت کاهش می‌یابد. این امر بیانگر ناپایداری لایه اکسید تیتانیم طبیعی تشکیل شده روی سطح در شرایط آزمایش است. پس از گذشت یک ساعت، مقدار پتانسیل مدار باز تیتانیم به یک مقدار شبه پایدار می‌رسد که بیانگر حل شدن فعال تیتانیم در محیط خورنده است [20]. چنانچه در شکل 3 مشاهده می‌شود، مقدار پتانسیل مدار باز نمونه T30 نسبت به زیرلایه افزایش قابل توجهی داشته است و پس از یک ساعت این مقدار برابر 0/4+ شده است. این امر بیانگر افزایش پایداری ترمودینامیکی در اثر ایجاد لایه اکسیدی حاوی فاز آناتازان است. گزارش‌های متعددی نشان داده‌اند که ایجاد پوشش اکسیدی تیتانیا منجر به افزایش پتانسیل مدار باز شده است [21, 22].

منحنی‌های پلاریزاسیون پتانسیودینامیک سیکلی



شکل ۳- تغییرات پتانسیل مدار باز زیرلایه و نمونه T30 در الکتروولیت هوا زدایی شده ۴۰ گرم بر لیتر  $H_2SO_4$  و ۴۰ گرم بر لیتر کلرید سدیم در دمای ۵۵ درجه سانتی گراد.



شکل ۴- منحنی پلاریزاسیون سیکلی زیرلایه تیتانیمی و نمونه T30 در الکتروولیت هوا زدایی شده ۴۰ گرم بر لیتر  $H_2SO_4$  و ۴۰ گرم بر لیتر کلرید سدیم در دمای ۵۵ درجه سانتی گراد.

در نتیجه، می‌توان نتیجه گیری کرد که ایجاد پوشش روی نمونه T30 منجر به افزایش مقاومت در برابر خوردگی موضعی در شرایط آزمایش می‌شود.

بمنظور محاسبه کمی نرخ خوردگی در نمونه تیتانیم خالص تجاری و نمونه پوشش داده شده، مقادیر پتانسیل خوردگی و دانسیته جریان خوردگی با استفاده از منحنی‌های پلاریزاسیون پتانسیو دینامیک سیکلی بدست آمد و در جدول ۲ گزارش شده است.

در منحنی پلاریزاسیون پتانسیو دینامیک سیکلی نمونه T30، یک لایه غیرفعال روی سطح در گستره پتانسیل ۰/۰۱ تا ۱/۷ ولت تشکیل می‌شود. سپس با افزایش پتانسیل تا ۴/۳ ولت، دانسیته جریان افزایش می‌یابد و دوباره لایه غیرفعال ضعیفتری تشکیل می‌شود که تا پتانسیل ۱۰ ولت پایدار است. با تغییر جهت روبش، یک حلقه پسماند منفی در منحنی پلاریزاسیون پتانسیو دینامیک سیکلی مشاهده می‌شود که بیانگر ترمیم حفرات احتمالی به وجود آمده طی روبش رو به جلو است.

### جدول ۲- نتایج بدست آمده از آزمایش پلاریزاسیون پتانسیویدینامیک سیکلی

نمونه	پتانسیل خوردگی نسبت به Ag/AgCl (ولت)	دانسیته جریان خوردگی (آمپر بر سانتی متر مربع)	نرخ خوردگی (میکرومتر بر سال)	تیتانیم
82	-0/39	$9/14 \times 10^{-5}$		
10/1	-0/25	$1/13 \times 10^{-5}$		T30

الکتروشیمیایی سطح است. ایجاد این لایه اکسیدی منجر به کاهش تمایل ترمودینامیکی نسبت به خوردگی می‌شود و بر اساس نتایج بدست آمده مقدار پتانسیل مدار باز تقریباً 1 ولت افزایش می‌یابد.

نتایج بدست آمده از آزمایش پلاریزاسیون پتانسیویدینامیک سیکلی نشان می‌دهند که برخلاف زیرلایه نمونه پوشش داده شده نسبت به حفره دار شدن در شرایط آزمون مقاوم است. در اثر ایجاد لایه اکسیدی روی سطح تیتانیم، مقاومت به خوردگی این فلز در محیط اسید سولفوریک و کلرید سدیم افزایش پیدا می‌کند. نرخ خوردگی از 82 میکرومتر در سال به 10/1 میکرومتر در سال کاهش می‌یابد.

با توجه به این که آزمون‌های خوردگی این پژوهش در محیط بسیار خورنده و هوازدایی شده صورت گرفته است، می‌توان نتیجه گیری کرد که ایجاد پوشش اکسیدی به روش اکسیداسیون پلاسمای الکترولیتی منجر به افزایش مقاومت تیتانیم در برابر خوردگی و همچنین، حفره دار شدن در محیط‌های متداول (که عموماً محیط‌های خورنده ضعیفتری هستند) می‌شود.

چنانچه خوردگی به گونه یکنواخت رخ دهد (مانند نمونه T30) نرخ خوردگی را می‌توان با استفاده از رابطه (5) محاسبه کرد. در این رابطه M وزن اتمی تیتانیم (48g/mol)، ρ دانسیته بر حسب گرم بر سانتی متر مکعب (4/37g/cm<sup>3</sup>)، n بار معادل (4 برای TiO<sub>2</sub>) و F عدد فارادی است.

$$\text{CorrosionRate} = 3.156 \times 10^5 \times \frac{\text{Micorr}}{nF\rho}$$

نتایج بدست آمده نشان می‌دهد که نرخ خوردگی تیتانیم بدون پوشش در شرایط آزمایش بیشتر از هشت برابر نمونه پوشش داده شده است. کاهش نرخ خوردگی در اثر ایجاد پوشش اکسیدی ناشی از کاهش انتقال بار در فصل مشترک فلز و الکترولیت و همچنین، جلوگیری از نفوذ یون‌های خورنده و جذب آن‌ها به وسیله سطح است.[9].

### نتیجه گیری

لایه دی اکسید تیتانیم در الکترولیت فسفاتی در ولتاژ کاری 300 ولت با موفقیت روی سطح تیتانیم خالص تجاری سنتز شد. بر اساس نتایج بدست آمده این لایه مخلخل از فاز آناتاز تشکیل شده که بیانگر اکسیداسیون

الکتریکی تیتانیم خالص تجاری "مواد نوین، سال 4 شماره 4، ص 71-80، تابستان 1393".

4- V. N. Moiseev, "Titanium in Russia", Metal Science and Heat Treatment, vol. 47, pp. 371-376, 2005.

5- H. J. Rack and J. I. Qazi, "Titanium Alloys for Biomedical Applications", Materials Science and Engineering: C, vol. 26, pp. 1269-1277, 2006.

6- W. Zhang, Z. Zhu, and C. Y. Cheng, "A literature Review of Titanium Metallurgical Processes," Hydrometallurgy, vol. 108, pp. 177-188, 2011.

### References

- 1- D. S. R. Krishna, Y. L. Brama, and Y. Sun, "Thick Rutile Layer on Titanium for Tribological Applications", Tribiology International, " Vol. 40, pp. 329-334.2006.
- 2- I. Gurrappa, "Characterization of Titanium alloy Ti-6Al-4V for Chemical, Marine and Industrial Applications", Materials Characterization, vol. 51, pp. 131-139, 2003.
- 3- س. غ. رضوی، م. سبکتکنی ریزی و م. طاهری، "بررسی خواص مکانیکی و فیزیکی جوشکاری لیزر و قوس

- 7- C.-J. Li and G.-R. Xu, "Influence of Ammonia on the Morphologies and Enhanced Photocatalytic Activity of TiO<sub>2</sub> Micro/Nanospheres," *Applied Surface Science*, vol. 257, pp. 4951-4955, 2011.
- 8- H. Niazi, F. Golestani-Fard, W. Wang, M. Shahmiri, H. R. Zargar, A. Alfantazi, and R. Bayati, "Structure-Property Correlation in EEMAO Fabricated TiO<sub>2</sub>-Al<sub>2</sub>O<sub>3</sub> Nanocomposite Coatings", *ACS Applied Materials & Interfaces*, vol. 6, pp. 5538-5547, 2014.
- 9- M. Shokouhfar, C. Dehghanian, and A. Baradaran, "Preparation of Ceramic Coating on Ti Substrate by Plasma Electrolytic Oxidation in Different Electrolytes and Evaluation of its Corrosion Resistance", *Applied Surface Science*, vol. 257, pp. 2617-2624, 2011.
- 10- M. Shokouhfar, C. Dehghanian, M. Montazeri, and A. Baradaran, "Preparation of Ceramic Coating on Ti Substrate by Plasma Electrolytic Oxidation in Different Electrolytes and Evaluation of its Corrosion Resistance: Part II", *Applied Surface Science*, vol. 258, pp. 2416-2423, 2012.
- 11- N. K. Kuromoto, R. A. Simão, and G. A. Soares, "Titanium Oxide Films Produced on Commercially Pure Titanium by Anodic Oxidation with Different Voltages", *Materials Characterization*, vol. 58, pp. 114-121, 2007.
- 12- E. Matykina, R. Arrabal, F. Monfort, P. Skeldon, and G. E. Thompson, "Incorporation of zirconia into Coatings Formed by DC Plasma Electrolytic Oxidation of Aluminium in Nanoparticle Suspensions", *Applied Surface Science*, vol. 255, pp. 2830-2839, 2008.
- 13- A. L. Yerokhin, X. Nie, A. Leyland, A. Matthews, and S. J. Dowey, "Plasma Electrolysis for Surface Engineering", *Surface and Coatings Technology*, vol. 122, pp. 73-93, 1999.
- 14- A. L .Yerokhin, X. Nie, A. Leyland, and A. Matthews, "Characterisation of oxide films Produced by Plasma Electrolytic Oxidation of a Ti-6Al-4V Alloy", *Surface and Coatings Technology*, vol. 130, pp. 195-206, 2000.
- 15- H.-J. Song, M.-K. Kim, G.-C. Jung, M.-S .Vang, and Y.-J. Park, "The Effects of Spark Anodizing Treatment of Pure Titanium Metals and Titanium Alloys on Corrosion Characteristics", *Surface and Coatings Technology*, vol. 201, pp. 8738-8745, 2007.
- 16- M. R. Bayati, F. Golestani-Fard, and A. Z. Moshfegh, "How photocatalytic activity of the MAO-Grown TiO<sub>2</sub> Nano/Micro-Porous Films is Influenced by Growth Parameters? ", *Applied Surface Science*, vol. 256, pp. 4253-4259, 2010.
- 17- M. R. Bayati, A. Z. Moshfegh, and F. Golestani-Fard, "Effect of Electrical Parameters on Morphology, Chemical Composition, and Photoactivity of the Nano-Porous Titania Layers Synthesized by Pulse-Microarc Oxidation", *Electrochimica Acta*, vol. 55, pp. 2760-2766, 2010.
- 18- V. Shoaei-Rad, M. R. Bayati, F. Golestani-Fard, H. R. Zargar, and J. Javadpour, "Fabrication of ZrO<sub>2</sub>-Al<sub>2</sub>O<sub>3</sub> Hybrid Nano-Porous Layers Through Micro arc oxidation Process", *Materials Letters*, vol. 65, pp. 1835-1838, 2011.
- 19- V. Shoaei-Rad, M. R. Bayati, H. R. Zargar, J. Javadpour, and F. Golestani-Fard, "In situ growth of ZrO<sub>2</sub>-Al<sub>2</sub>O<sub>3</sub> Nano-Crystalline Ceramic Coatings Via Micro Arc Oxidation of Aluminum Substrates", *Materials Research Bulletin*, vol. 47, pp. 1494-1499, 2012.
- 20- S. Yu, "Corrosion Resistance of Titanium Alloys", in *Corrosion: Fundamentals, Testing ,and Protection* vol. vol 13A, ed: ASM International, 2003, pp. 703-711.
- 21- Z. Yao, Y. Jiang, Z. Jiang, F. Wang, and Z. Wu, "Preparation and Structure of Ceramic Coatings Containing Zirconium Oxide on Ti Alloy by Plasma Electrolytic Oxidation", *Journal of Materials Processing Technology*, vol. 205, pp. 303-307, 2008.
- 22- Z. Yao, Z. Jiang, X. Wu, X. Sun, and Z. Wu, "Effects of Ceramic Coating by Micro-Plasma Oxidation on the Corrosion Resistance of Ti-6Al-4V alloy", *Surface and Coatings Technology*, vol .200 ,pp. 2445-2450, 2005.
- 23- N. Vaughan, NACE corrosion engineer's reference book, 3<sup>rd</sup> ed., p. 111, Houston, Texas, 2002.